

# コメント

- ニュートリノ振動現象論  
の立場から -

南木 入和（都立大理）

“自然”が語ったあとで“理論屋”が  
言えることは少ない

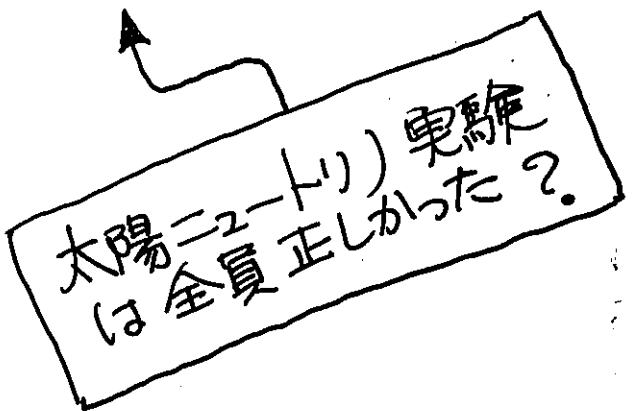
# 原子炉実験で"初めて 欠損 が"みえた！ (K2K と合わせて)

- ・ニュートリノ運動は もはや

大気レ  
太陽レ)などの人間が"コントロール

できない"ビーム"だけ起きているの  
ではない

- ・言いかえれば、これら 自然起源の  
ニュートリノ観測で"みていたものは  
fake では なかつた



太陽ニュートリノ問題は解決

ニュートリノフレーバー物理は  
第2のターニング"ポイント"を回った！

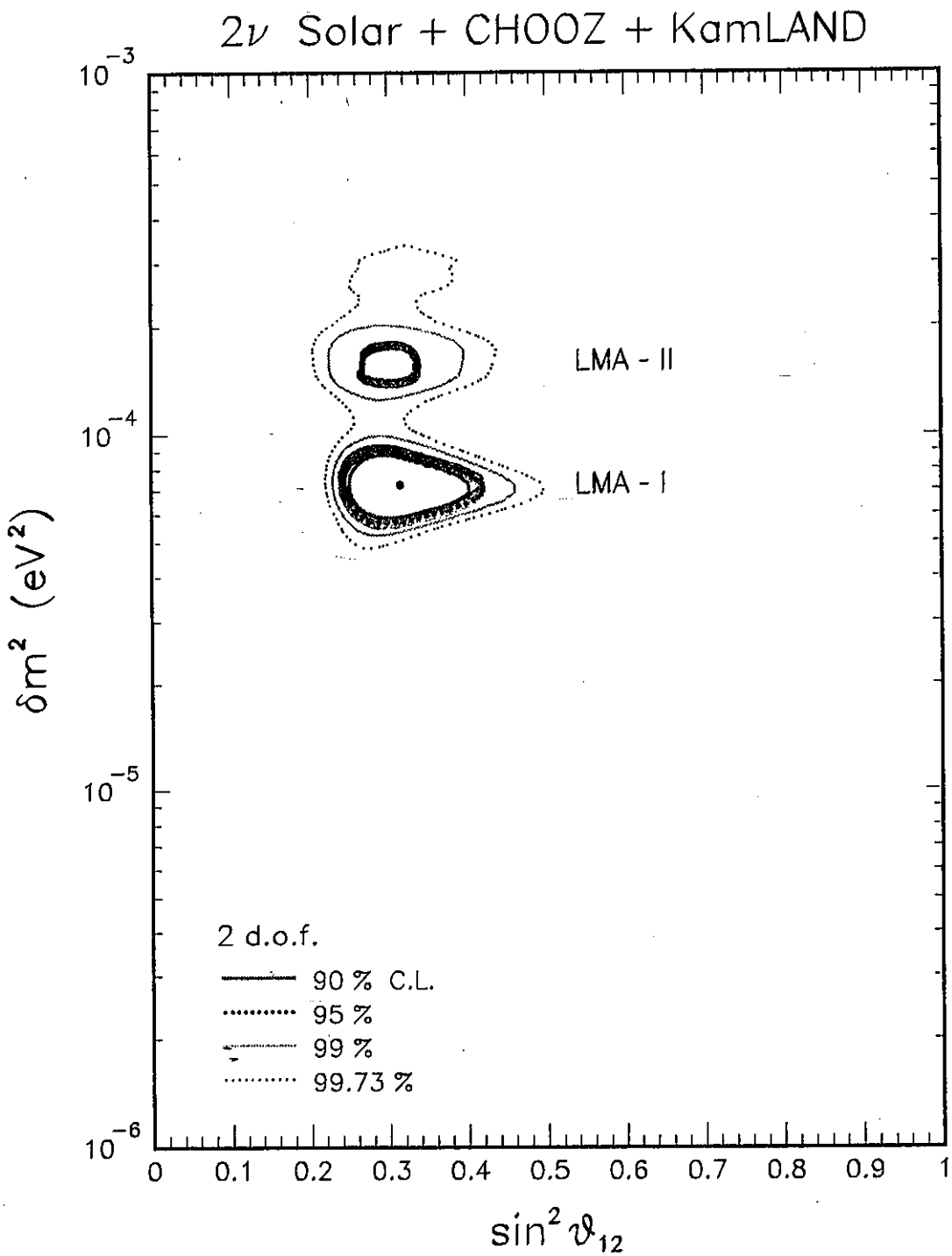


FIG. 3: Two-flavor active neutrino oscillations: Global analysis of solar, CHOOZ, and KamLAND neutrino data in the  $(\delta m^2, \sin^2 \theta_{12})$  parameter space. With respect to Fig. 1, the LMA region is significantly restricted, and appears to be split into two sub-regions (LMA-I and LMA-II), well-separated at 99% C.L. The best fit (black dot) is found in the LMA-I solution. At 99.73% C.L., the two solutions merge into a single one, which slightly extends towards  $\delta m^2 \sim 2 \times 10^{-4}$  eV<sup>2</sup>.

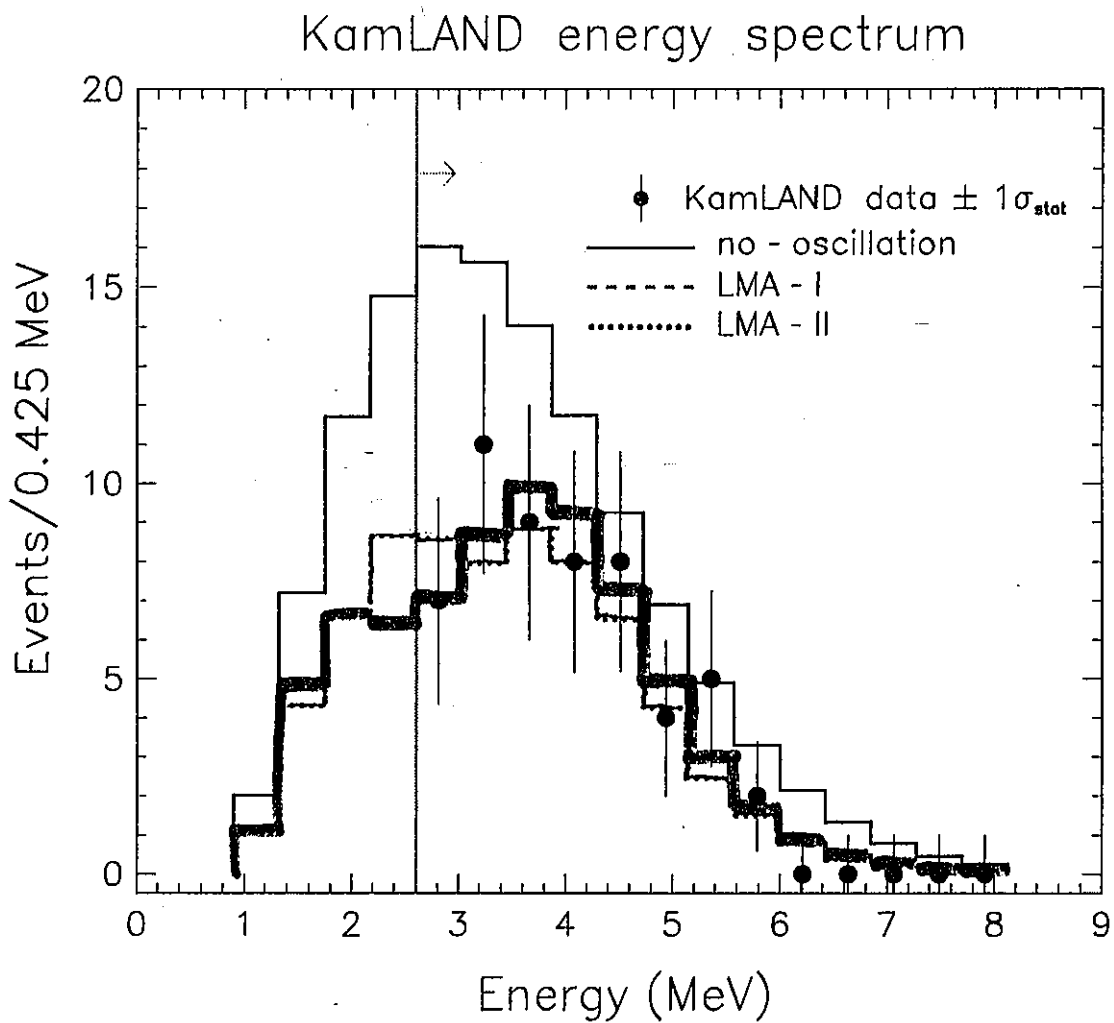


FIG. 4: Energy spectra of events in KamLAND for the LMA-I and LMA-II global fit points in Table II, together with the no-oscillation spectrum. The current KamLAND data are superposed above the analysis threshold (2.6 MeV).

# ニュートリノフレーバー構造の解明

は後半戦へ

LMA: KamLAND は leptonic ~~CP~~  
測定への道を切り開いた

$\theta_{13}$

$\Delta m^2_{13}$  の符号

← 「やればできる」測定

$\delta$

↑  
最後の奥門:  $\theta_{13}$  の大きさ

次のコレ:  $\theta_{13}$

{ LBL  
Reactor

NuFact

# 原子炉

- 原子炉実験は 正しい距離に

検出器をおけば

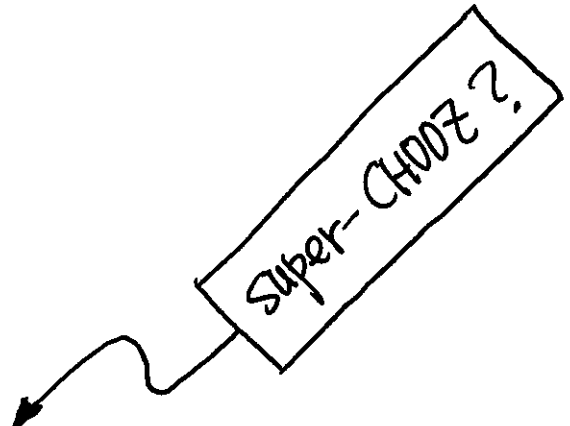
See Fig.

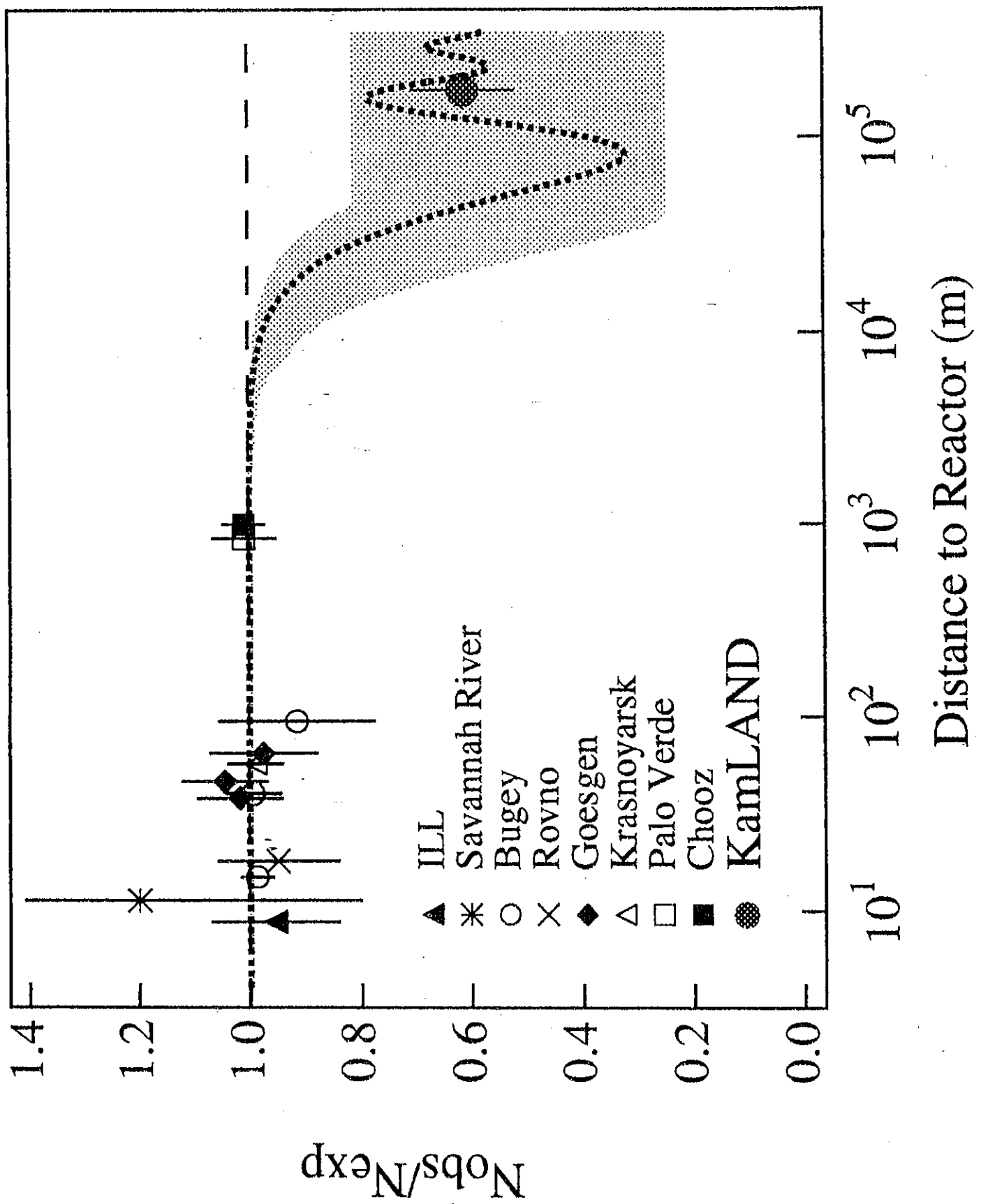
“大角度効果”を検出できること  
を証明した

- 次の challenge :

$$\sin^2 2\theta_{13} = 0.01 \sim 0.1$$

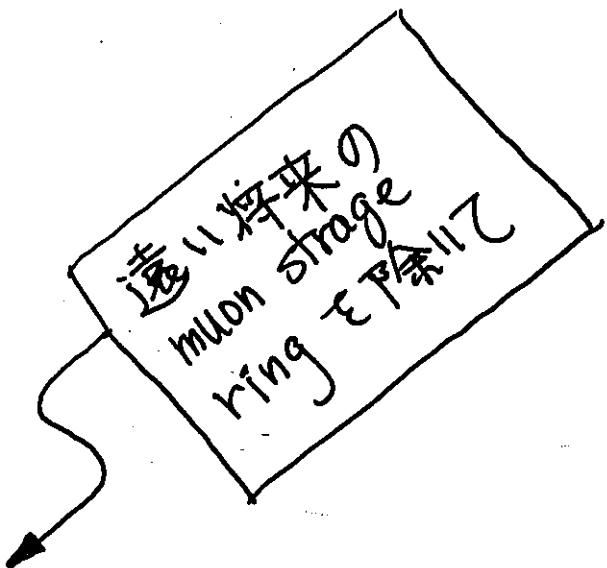
“ $\theta_{13}$ を最初に測るものが後半戦を制す”





# JHF

## Super JHF with Hyper-K



唯一の ~~CP~~ を測れるマシン

~~CP~~  
~~B~~

} 検出のための unique apparatus

= Hyper-Kamiokande !

-----  
JHF phase-I で確実な  $\nu e$  appearance の  
証拠を !